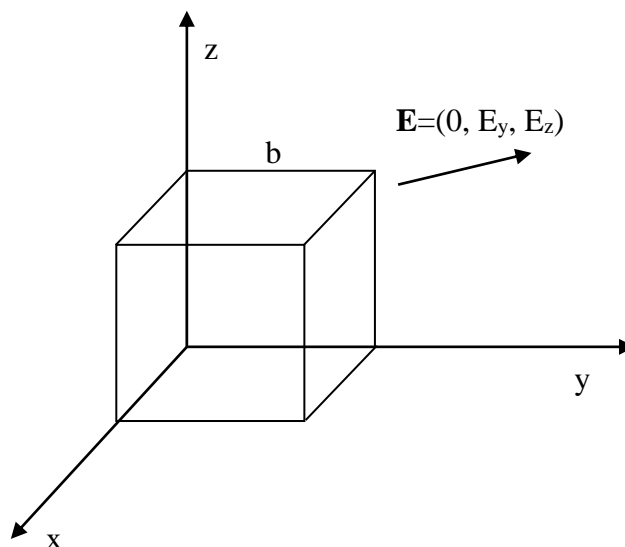


Física II. Problemes Sessió 2. Tema Camp Elèctric 2

1) Considera un superfície tancada, delimitada per sis cares quadrades planes de costat 'b' que formen un cub en que un dels vèrtex es troba a l'origen i les tres arestes que en surten estan dirigides segons els semieixos positius de coordenades. A tots els punts de l'espai hi actua un camp elèctric uniforme de components $(0, E_y, E_z)$.



a) Dedueix una expressió del flux a través de cadascuna de les dues cares paral·leles al pla x-y. Per això, dona primer una expressió del vector de superfície que correspon a cadascuna d'aquestes cares.

b) Dedueix una expressió del flux a través de cadascuna de les cares paral·leles al pla x-z.

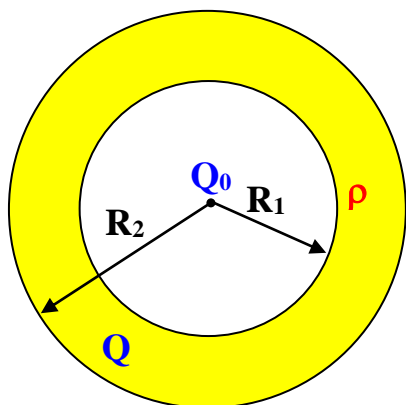
c) Dedueix una expressió del flux a través de cadascuna de les cares paral·leles al pla y-z.

d) Considera ara la superfície tancada en forma de cub formada per la unió de les sis cares. A partir dels resultats anteriors, dedueix una expressió del flux total a través d'aquesta superfície tancada. Recorda que en superfícies tancades, el flux sortint té signe positiu. El resultat està d'acord amb el Teorema de Gauss?

e) Considera ara que, a més del camp \mathbf{E} , es situen tres càrregues en diferents punts de l'espai: i) una de $q_1=3 \text{ nC}$ a la posició $(b/2, b/3, b/4)$, ii) una de $q_2=-1 \text{ nC}$ a la posició $(b/3, b/4, b/2)$ i iii) una de $q_3=10 \text{ nC}$ a la posició $(2b, b/3, b/5)$. Calcula (numèricament) ara el flux total que surt de la superfície.

2. Tenim una distribució contínua de càrregues consistent en una corona esfèrica de radi intern R_1 i extern R_2 . Té una densitat total de càrrega ρ uniformement dins del seu volum.

Tenim a més una càrrega puntual de valor Q_0 en el centre.



a) Calcula una expressió de la càrrega total de la corona esfèrica a partir de ρ i d'altres paràmetres si convé.

b) Calcula expressions per al camp elèctric en direcció radial a les 3 diferents regions de l'espai: I ($r < R_1$) ; II ($R_1 < r < R_2$) i III ($R_2 < r$). Comprova la continuïtat del camp elèctric a la superfície de l'esfera interna. Fer una representació gràfica de $E(r)$. Considera el cas:

$$\rho > 0, R_1 = 1 \text{ m i } R_2 = 2 \cdot R_1, Q_0 = 2 \cdot \rho \cdot \frac{4}{3} \pi R_1^3$$

c) A partir de l'expressió del camp calcula les expressions del potencial elèctric a les 3 regions. Agafa origen de potencial a l'infinit. Fes una representació gràfica del potencial.

d) Calcula la diferència de potencial ΔV entre la superfície de l'esfera interna i l'esfera externa. Si dividim Q per aquesta diferència de potencial ΔV obtenim el que s'anomena *capacitat* $C = Q/\Delta V$). Comprova que l'expressió de la capacitat és independent de la

càrrega Q . Calcula-la per $R_1 = 1 \text{ m i } R_2 = 2 \cdot R_1, Q_0 = 2 \cdot \rho \cdot \frac{4}{3} \pi R_1^3$

SOLUCIÓ 2

a) Tenint en compte que la càrrega $+Q$ es distribueix uniformement pel volum de l'esfera interior de radi R_1 , i que la càrrega $-Q$ es distribueix uniformement per la superfície de l'esfera exterior de radi R_2 .

$$\rho_1 = \frac{Q}{\frac{4}{3} \pi R_1^3} \quad ; \quad -\sigma_2 = -\frac{Q}{4\pi R_2^2}$$

b) • Camp de la regió I ($r < R_1$). Col·loquem una superfície de Gauss com la d'una esfera concèntrica de radi $r < R_1$. Per simetria esfèrica el camp és perpendicular a la superfície d'aquesta esfera i el mòdul només depèn del radi r . Per tant els elements de flux $\mathbf{E} \cdot d\mathbf{S}$ són només productes de mòdul: $E(r) \cdot dS$ amb $E(r)$ constant al llarg de tota l'esfera de Gauss.

Així

$$\Phi_r = \oint_r \mathbf{E}^I(r) \cdot d\mathbf{S} = E^I(r) \cdot \oint_r dS = E^I(r) \cdot 4\pi r^2$$

Igualant aquest flux al que diu el teorema de Gauss:

$$\Phi_r = E^I(r) \cdot 4\pi r^2 = 4\pi k_e q_{\text{int}} = 4\pi k_e \frac{4}{3} \pi r^3 \cdot \rho_1$$

$$\Rightarrow E^I(r) = \frac{4\pi k_e \frac{4}{3} \pi r^3 \cdot \rho_1}{4\pi r^2} = k_e \frac{4}{3} \pi \cdot \rho_1 \cdot r = k_e \frac{Q}{R_1^3} \cdot r$$

Concretament a la superfície de l'esfera interna $r=R_1$:

$$E^I(R_1) = k_e \frac{4}{3} \pi \cdot \rho_1 \cdot R_1 = k_e \frac{Q}{R_1^2}$$

• Camp de la regió II ($R_1 < r < R_2$). Ara la superfície de Gauss és una esfera concèntrica de radi $R_1 < r < R_2$. Tenim les mateixes simetries esfèriques, per tant:

$$\Phi_r = \oint_r E^II(r) \cdot dS = E^II(r) \cdot \oint_r dS = E^II(r) \cdot 4\pi r^2$$

Igualant aquest flux al que diu el teorema de Gauss:

$$\Phi_r = E^II(r) \cdot 4\pi r^2 = 4\pi k_e q_{\text{int}} = 4\pi k_e Q$$

$$\Rightarrow E^II(r) = \frac{4\pi k_e Q}{4\pi r^2} = k_e \frac{Q}{r^2} \quad \text{El mateix que si tota la càrrega } Q \text{ estigués}$$

concentrada en el centre $r=0$ (una càrrega puntual).

Ara amb les expressions de les regions I i II ja es veu que el camp és continu per $r=R_1$:
 $E^I(R_1) = E^II(R_1)$

Concretament a la superfície de l'esfera externa $r=R_2$ (de gruix negligible):

$$E^II(R_2) = k_e \frac{Q}{R_2^2}$$

• Camp de la regió III ($R_2 < r$). Ara la superfície de Gauss és una esfera concèntrica de radi $R_2 < r$. Tenim les mateixes simetries esfèriques, per tant:

$$\Phi_r = \oint_r E^III(r) \cdot dS = E^III(r) \cdot \oint_r dS = E^III(r) \cdot 4\pi r^2$$

Igualant aquest flux al que diu el teorema de Gauss:

$$\Phi_r = E^III(r) \cdot 4\pi r^2 = 4\pi k_e q_{\text{int}} = 4\pi k_e (Q - Q) = 0$$

$$\Rightarrow E^III(r) = 0 \quad \text{El camp és nul a fora .}$$

Ara el camp ja no és continu a $r=R_2$:

immediatament a dins val $E^II(R_2) = k_e \frac{Q}{R_2^2}$ i a fora val $E^III(r) = 0$.

No hi ha d'haver continuïtat quan hi hagi distribucions superficials σ (també passa en distribucions lineals λ o en distribucions puntuals, com càrregues puntuals). En canvi sempre hi ha d'haver continuïtat del camp quan hi ha distribucions volumiques ρ .

c) Tenim l'origen de potencial a l' ∞ $V(r \rightarrow \infty) = 0$

- Com que ∞ és un punt de la regió III començarem calculant el potencial als punts d'aquesta regió III ($R_2 < r$):

$$V(r) = V(\infty) - \int_{\infty}^r E^{\text{III}}(r') \cdot dr' = 0 - \int_{\infty}^r 0 \cdot dr' = 0$$

El potencial continua sent zero a tota la regió III i concretament $V(R_2) = 0$.

- Calculem el potencial a la regió II ($R_1 < r < R_2$), agafarem com a referència el potencial a R_2 .

$$V(r) = V(R_2) - \int_{R_2}^r E^{\text{II}}(r') \cdot dr' = 0 - \int_{R_2}^r k_e \frac{Q}{r'^2} \cdot dr' = -k_e Q \int_{R_2}^r \frac{dr'}{r'^2} = k_e Q \left[\frac{1}{r'} \right]_{R_2}^r = k_e Q \left(\frac{1}{r} - \frac{1}{R_2} \right)$$

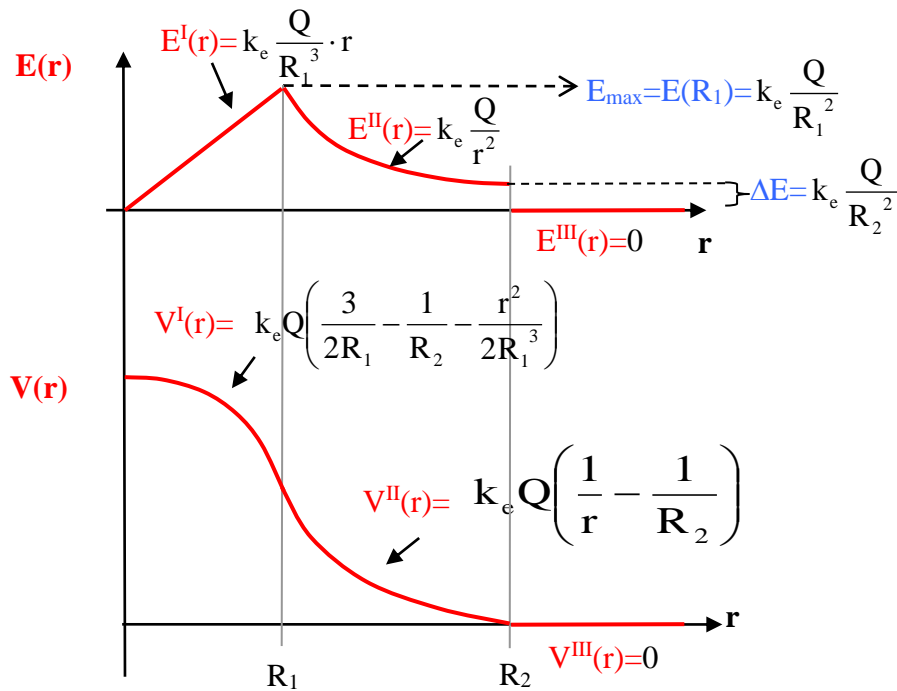
Concretament a $r = R_1$

$$V(R_1) = k_e Q \left(\frac{1}{R_1} - \frac{1}{R_2} \right)$$

- Calculem el potencial a la regió I ($r < R_1$), agafarem com a referència el potencial a R_1 que acabem de calcular: $V(R_1)$

$$\begin{aligned} V(r) &= V(R_1) - \int_{R_1}^r E^{\text{I}}(r') \cdot dr' = V(R_1) - \int_{R_1}^r k_e \frac{Q}{R_1^3} \cdot r' \cdot dr' = V(R_1) - k_e \frac{Q}{R_1^3} \cdot \int_{R_1}^r r' \cdot dr' = \\ &= V(R_1) - k_e \frac{Q}{R_1^3} \cdot \left[\frac{r'^2}{2} \right]_{R_1}^r = k_e Q \left(\frac{1}{R_1} - \frac{1}{R_2} \right) - k_e \frac{Q}{R_1^3} \cdot \left(\frac{r^2}{2} - \frac{R_1^2}{2} \right) = k_e Q \left(\frac{3}{2R_1} - \frac{1}{R_2} - \frac{r^2}{2R_1^3} \right) \end{aligned}$$

Representació gràfica del camp i el potencial



d) Capacitat C?

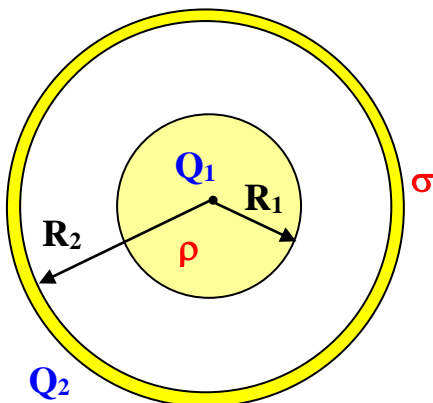
$$C \equiv \frac{Q}{V(R_1) - V(R_2)} = \frac{Q}{k_e Q \left(\frac{1}{R_1} - \frac{1}{R_2} \right)} = \frac{1}{k_e \left(\frac{1}{R_1} - \frac{1}{R_2} \right)}$$

Només depèn de les característiques geomètriques del sistema (i de k_e que és ct.)

e) Calcula la capacitat per $R_1 = 10 \text{ m}$ i $R_2 = 10,5 \text{ m}$

$$C = \frac{1}{k_e \left(\frac{1}{R_1} - \frac{1}{R_2} \right)} = \frac{1}{8,9875 \times 10^9 \frac{\text{Nm}^2}{\text{C}^2} \left(\frac{1}{10 \text{ m}} - \frac{1}{10,5 \text{ m}} \right)} = 2,34 \times 10^{-8} \frac{\text{C}}{\frac{\text{Nm}}{\text{C}}} = 23,4 \text{ nF}$$

3. Tenim una distribució contínua de càrregues consistent en una esfera de radi R_1 que amb una densitat volúmica de càrrega ρ distribuïda uniformement dins del seu volum.



Aquesta esfera està rodejada concèntricament per una altra superfície esfèrica de radi $R_2 > R_1$ (considerem-la una corona esfèrica de gruix negligible) que té una densitat superficial de càrrega σ distribuïda uniformement per la seva àrea.

a) Calcula expressions per a la Càrrega total Q_1 de l'esfera central a partir de ρ i d'altres

paràmetres si convé, i de la càrrega total Q_2 de la superfície esfèrica externa a partir de σ i dels paràmetres que convinguin.

b) Calcula expressions per al camp elèctric en direcció radial a les 3 diferents regions de l'espai: I ($r < R_1$) ; II ($R_1 < r < R_2$) i III ($R_2 < r$). Comprova la continuïtat del camp elèctric a la superfície de l'esfera interna. Fer una representació gràfica de $E(r)$. Considera el cas:

$$\rho > 0, R_1 = 1 \text{ m i } R_2 = 2 \cdot R_1, Q_2 = -2 \cdot Q_1$$

c) A partir de l'expressió del camp calcula les expressions del potencial elèctric a les 3 regions. Agafa origen de potencial a l'infinít. Fes una representació gràfica del potencial.

d) Calcula la diferència de potencial ΔV entre la superfície de l'esfera interna i l'esfera externa. Considera el cas: $\rho > 0, R_1 = 1 \text{ m i } R_2 = 2 \cdot R_1, Q_2 = -2 \cdot Q_1$

SOLUCIÓ 3

a) Tenint en compte que la càrrega $+Q$ es distribueix uniformement pel volum de l'esfera interior de radi R_1 , i que la càrrega $-Q$ es distribueix uniformement per la superfície de l'esfera exterior de radi R_2 .

$$\rho_1 = \frac{Q}{\frac{4}{3}\pi R_1^3}; \quad -\sigma_2 = -\frac{Q}{4\pi R_2^2}$$

b) • Camp de la regió I ($r < R_1$). Col·loquem una superfície de Gauss com la d'una esfera concèntrica de radi $r < R_1$. Per simetria esfèrica el camp és perpendicular a la superfície d'aquesta esfera i el mòdul només depèn del radi r . Per tant els elements de flux $\mathbf{E} \cdot d\mathbf{S}$ són només productes de mòdul: $E(r) \cdot dS$ amb $E(r)$ constant al llarg de tota l'esfera de Gauss.

Així

$$\Phi_r = \oint_r E^I(r) \cdot dS = E^I(r) \cdot \oint_r dS = E^I(r) \cdot 4\pi r^2$$

Igualant aquest flux al que diu el teorema de Gauss:

$$\Phi_r = E^I(r) \cdot 4\pi r^2 = 4\pi k_e q_e \frac{4^3}{3} \rho_{1int}$$

$$\Rightarrow E^I(r) = \frac{4\pi k_e \frac{4}{3}\pi r^3 \cdot \rho_1}{4\pi r^2} = k_e \frac{4}{3} \pi \cdot \rho_1 \cdot r = k_e \frac{Q}{R_1^3} \cdot r$$

Concretament a la superfície de l'esfera interna $r=R_1$:

$$E^I(R_1) = k_e \frac{4}{3} \pi \cdot \rho_1 \cdot R_1 = k_e \frac{Q}{R_1^2}$$

• Camp de la regió II ($R_1 < r < R_2$). Ara la superfície de Gauss és una esfera concèntrica de radi $R_1 < r < R_2$. Tenim les mateixes simetries esfèriques, per tant:

$$\Phi_r = \oint_r E^{II}(r) \cdot dS = E^{II}(r) \cdot \oint_r dS = E^{II}(r) \cdot 4\pi r^2$$

Igualant aquest flux al que diu el teorema de Gauss:

$$\Phi_r = E^{II}(r) \cdot 4\pi r^2 = 4\pi k_e q e_{int}$$

$$\Rightarrow E^{II}(r) = \frac{4\pi k_e Q}{4\pi r^2} = k_e \frac{Q}{r^2} \quad \text{El mateix que si tota la càrrega } Q \text{ estigués}$$

concentrada en el centre $r=0$ (una càrrega puntual).

Ara amb les expressions de les regions I i II ja es veu que el camp és continu per $r=R_1$:
 $E^I(R_1)=E^{II}(R_1)$

Concretament a la superfície de l'esfera externa $r=R_2$ (de gruix negligible):

$$E^{II}(R_2) = k_e \frac{Q}{R_2^2}$$

• Camp de la regió III ($R_2 < r$). Ara la superfície de Gauss és una esfera concèntrica de radi $R_2 < r$. Tenim les mateixes simetries esfèriques, per tant:

$$\Phi_r = \oint_r E^{III}(r) \cdot dS = E^{III}(r) \cdot \oint_r dS = E^{III}(r) \cdot 4\pi r^2$$

Igualant aquest flux al que diu el teorema de Gauss:

$$\Phi_r = E^{III}(r) \cdot 4\pi r^2 = 4\pi k_e q e_{int}$$

$$\Rightarrow E^{III}(r) = 0 \quad \text{El camp és nul a fora .}$$

Ara el camp ja no és continu a $r= R_2$:

immediatament a dins val $E^{II}(R_2) = k_e \frac{Q}{R_2^2}$ i a fora val $E^{III}(r) = 0$.

No hi ha d'haver continuïtat quan hi hagi distribucions superficials σ (també passa en distribucions lineals λ o en distribucions puntuals, com càrregues puntuals). En canvi sempre hi ha d'haver continuïtat del camp quan hi ha distribucions volúmiques ρ .

c) Tenim l'origen de potencial a l' ∞ $V(r \rightarrow \infty) = 0$

- Com que ∞ és un punt de la regió III començarem calculant el potencial als punts d'aquesta regió III ($R_2 < r$):

$$V(r) = V(\infty) - \int_{\infty}^r E^{III}(r') \cdot dr' = 0 - \int_{\infty}^r 0 \cdot dr' = 0$$

El potencial continua sent zero a tota la regió III i concretament $V(R_2)=0$.

- Calculem el potencial a la regió II ($R_1 < r < R_2$), agafarem com a referència el potencial a R_2 .

$$\begin{aligned} V(r) &= V(R_2) - \int_{R_2}^r E^{II}(r') \cdot dr' = 0 - \int_{R_2}^r k_e \frac{Q}{r'^2} \cdot dr' = -k_e Q \int_{R_2}^r \frac{dr'}{r'^2} = k_e Q \left[\frac{1}{r'} \right]_{R_2}^r \\ &= k_e Q \left(\frac{1}{r} - \frac{1}{R_2} \right) \end{aligned}$$

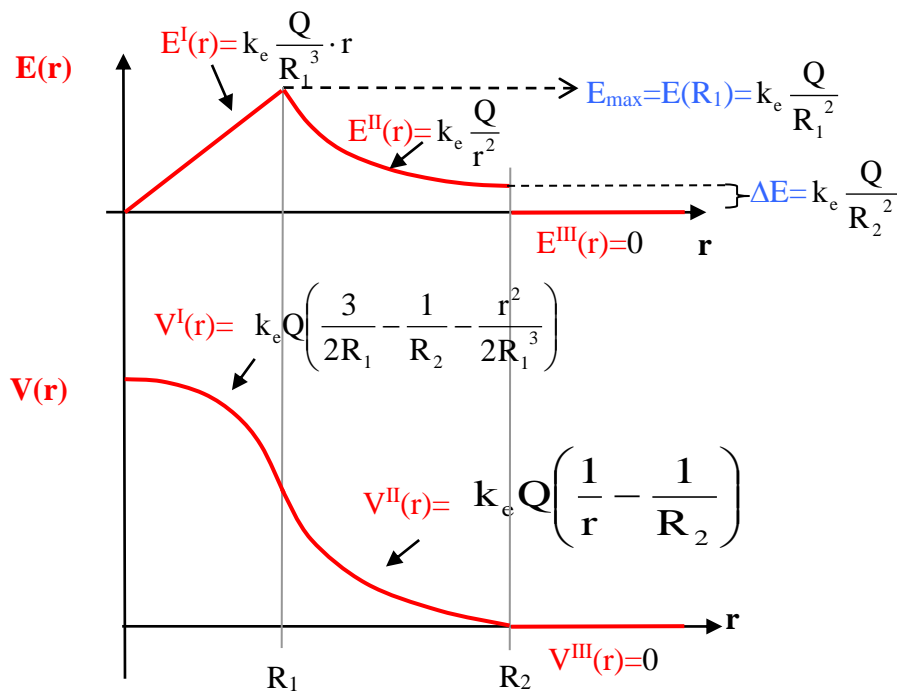
Concretament a $r=R_1$

$$V(R_1) = k_e Q \left(\frac{1}{R_1} - \frac{1}{R_2} \right)$$

- Calculem el potencial a la regió I ($r < R_1$), agafarem com a referència el potencial a R_1 que acabem de calcular: $V(R_1)$

$$\begin{aligned} V(r) &= V(R_1) - \int_{R_1}^r E^I(r') \cdot dr' = V(R_1) - \int_{R_1}^r k_e \frac{Q}{R_1^3} \cdot r' \cdot dr' \\ &= V(R_1) - k_e \frac{Q}{R_1^3} \cdot \int_{R_1}^r r' \cdot dr' = \\ &= V(R_1) - k_e \frac{Q}{R_1^3} \cdot \left[\frac{r'^2}{2} \right]_{R_1}^r = k_e Q \left(\frac{1}{R_1} - \frac{1}{R_2} \right) - k_e \frac{Q}{R_1^3} \cdot \left(\frac{r^2}{2} - \frac{R_1^2}{2} \right) \\ &= k_e Q \left(\frac{3}{2R_1} - \frac{1}{R_2} - \frac{r^2}{2R_1^3} \right) \end{aligned}$$

Representació gràfica del camp i el potencial



d) Diferència de potencial entre R_1 i R_2 ?

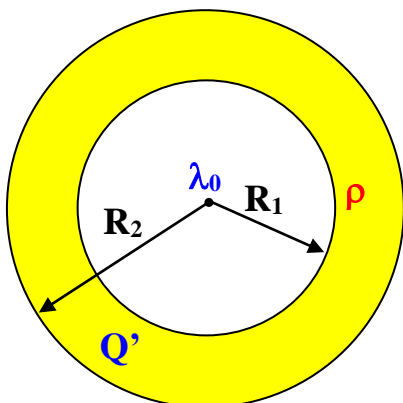
Només depèn de les característiques geomètriques del sistema (i de k_e que és ct.)

e) Calcula la capacitat per $R_1 = 10 \text{ m}$ i $R_2 = 10,5 \text{ m}$

$$C = \frac{1}{k_e \left(\frac{1}{R_1} - \frac{1}{R_2} \right)} = \frac{1}{8,9875 \times 10^9 \frac{\text{Nm}^2}{\text{C}^2} \left(\frac{1}{10 \text{ m}} - \frac{1}{10,5 \text{ m}} \right)} = 2,34 \times 10^{-8} \frac{\text{C}}{\frac{\text{Nm}}{\text{C}}} = 23,4 \text{ nF}$$

4. Tenim una distribució contínua de càrregues consistent en una corona cilíndrica de radi intern R_1 i extern R_2 . Té una densitat total de càrrega ρ uniformement dins del seu volum.

Tenim a més, a l'eix un fil rectilini carregat a l'eix de densitat lineal de càrrega λ_0 uniforme.



a) Calcula una expressió de la càrrega Q' de la corona cilíndrica per unitat de llargada a partir de ρ i d'altres paràmetres si convé.

b) Calcula expressions per al camp elèctric en direcció radial a les 3 diferents regions de l'espai: I ($r < R_1$) ; II ($R_1 < r < R_2$) i III ($R_2 < r$).

Comprova la continuïtat del camp elèctric a la

superfícies del cilindre interna. Fer una representació gràfica de $E(r)$. Considera el cas:

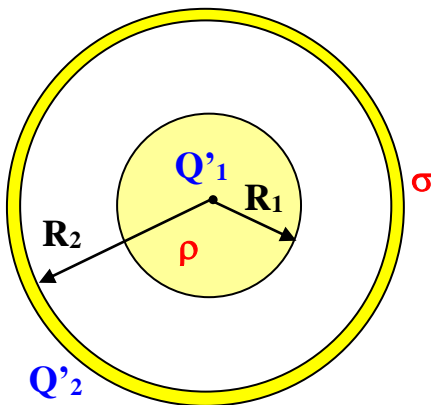
$$\rho > 0, R_1 = 1 \text{ cm i } R_2 = 3/2 \cdot R_1, \lambda_0 = \rho \cdot \pi R_1^2$$

c) A partir de l'expressió del camp calcula les expressions del potencial elèctric a les 3 regions. Agafa origen de potencial a la superfície externa de la corona ($R = R_2$). Fes una representació gràfica del potencial.

d) Calcula la diferència de potencial ΔV entre les dues superfícies de la corona cilíndrica. Calcula-la per $\rho > 0, R_1 = 1 \text{ cm i } R_2 = 3/2 \cdot R_1, \lambda_0 = \rho \cdot \pi R_1^2$

5. Tenim una distribució contínua de càrregues consistent en una barra cilíndrica de radi R_1 amb una densitat volúmica de càrrega ρ distribuïda uniformement dins del seu volum.

Aquesta barra està rodejada concèntricament per una altra superfície cilíndrica de radi $R_2 > R_1$ (sense gruix) que té una densitat superficial de càrrega σ distribuïda uniformement per la seva àrea.



a) Calcula expressions per a les càrregues unitat de llargada Q'_1 i Q'_2 de la barra central i de la superfície cilíndrica externa respectivament partir de ρ i de σ i dels paràmetres que convinguin.

b) Calcula expressions per al camp elèctric en direcció radial a les 3 diferents regions de l'espai: I ($r < R_1$) ; II ($R_1 < r < R_2$) i III ($R_2 < r$).

Comprova la continuïtat del camp elèctric a la superfície de l'esfera interna. Fer una representació gràfica de $E(r)$. Considera el cas:

$$\rho > 0, R_1 = 1 \text{ m i } R_2 = 2 \cdot R_1, Q_2 = -2 \cdot Q_1$$

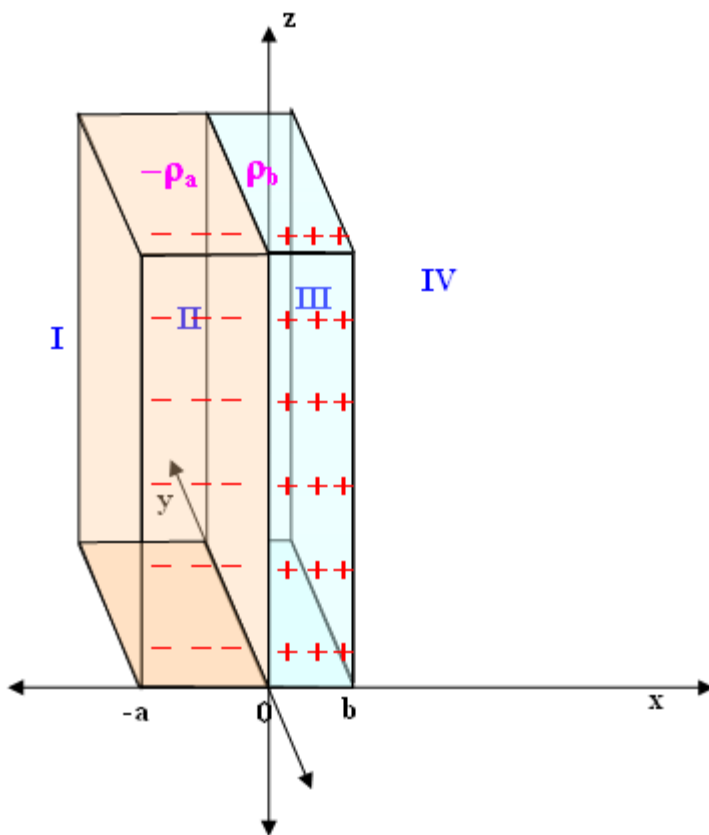
c) A partir de l'expressió del camp calcula les expressions del potencial elèctric a les 3 regions. Agafa origen de potencial al centre. Fes una representació gràfica del potencial.

d) Calcula la diferència de potencial ΔV entre la superfície de l'esfera interna i l'esfera externa. Considera el cas: $\rho > 0, R_1 = 1 \text{ m i } R_2 = 2 \cdot R_1, Q_2 = -2 \cdot Q_1$

6. Tenim un sistema de distribució contínua volúmica de càrregues consistent en una banda plana de gruix 'a' carregada amb densitat uniforme negativa $-\rho_a$ enganxada cara contra cara amb una altra banda plana de gruix 'b' i amb densitat positiva ρ_b també uniforme.

Les bandes s'estenen sobre el pla y-z tal com es veu a la figura i són molt més extenses que gruixudes (per a nosaltres és com si les consideréssim d'extensió infinita en el pla y-z). Considerem, per tant, que l'eix x és perpendicular a les bandes i posem l'origen $x=0$, just al punt d'unió de la banda 1 amb la banda 2.

DADA: es dona la circumstància que la càrrega per unitat d'àrea de la banda 1 és la mateixa que la de la banda 2 canviada de signe, és a dir : $\rho_a \cdot a = \rho_b \cdot b$



a) Agafant l'expressió del camp que genera una banda carregada uniformement, i per superposició de les dues bandes, calcula el camp elèctric a les regions de fora de les bandes, **I** ($x < -a$) i **IV** ($x > b$) i demostra que valen zero. Per arguments de simetria demostra que les components y i z del camp són nul·les a totes les regions.

b) A partir del camp $\mathbf{E}=0$ de la regió **I**, i per mitjà del teorema de Gauss, calcula una expressió per a la dependència en x de la component x del camp $E_x(x)$ a la regió **II** ($-a < x < 0$).

c) calcula el camp a la unió entre bandes $x=0$.

d) per mitjà del teorema de Gauss calcula la dependència en x del camp a la regió **III** ($0 < x < b$). Amb aquesta expressió calcula el camp a $x=b$ i comprova que dóna 0 tal i com s'havia vist per la regió **IV** a l'apartat **a**). Fes una representació gràfica de $E(x)$ per a totes les regions.

e) Considerem l'origen de potencial $V=0$ a la regió **I**. A partir d'aquí i integrant les expressions del camp, calcula les expressions del potencial V en funció de x per a les restants regions. Fes una representació gràfica del potencial $V(x)$ per a totes les regions.

f) Pel cas $\rho_a = 100 \text{ C/m}^3$, $\rho_b = 300 \text{ C/m}^3$, $a = 0,3 \mu\text{m}$ i $b = 0,1 \mu\text{m}$, calcula el valor del camp màxim $E(0)$ i del potencial de barrera, $V(x=b)$.

SOLUCIÓ 6

a) Tenint en compte el camp uniforme que una banda plana infinita de gruix d (verticalment situada) i densitat uniforme ρ fa a les dues meitats externes, esquerra i

dreta de l'espai: $E_x^{\text{esquerra}} = -\frac{d \cdot \rho}{2\epsilon_0}$; $E_x^{\text{dreta}} = \frac{d \cdot \rho}{2\epsilon_0}$ i considerant la distribució del

problema com a superposició de dues bandes planes infinites de gruixos a i b i densitats $-\rho_a$ i ρ_b respectivament, podem trobar els camps a les regions I i IV ja que son externes a ambdues bandes.

$$E_x^{\text{I}}(x < -a) = E_{xa}^{\text{esquerra}} + E_{xb}^{\text{esquerra}} = \frac{a \cdot \rho_a}{2\epsilon_0} + \frac{-b \cdot \rho_b}{2\epsilon_0} = 0$$

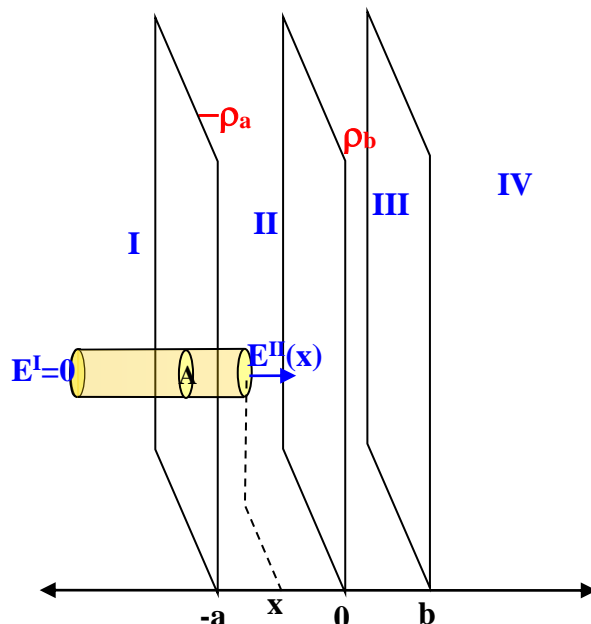
$$E_x^{\text{IV}}(b < x) = E_{xa}^{\text{dreta}} + E_{xb}^{\text{dreta}} = \frac{-a \cdot \rho_a}{2\epsilon_0} + \frac{b \cdot \rho_b}{2\epsilon_0} = 0$$

Hem aplicat la condició d'igualtat de densitat de càrrega superficial: $\rho_a \cdot a = \rho_b \cdot b$ per a veure que els camps són nuls a aquestes dues regions.

Les components y i z són nul·les a tots els punts ja que el camp només pot tenir direcció x . Si el camp tingués alguna alineació lateral dirigida cap a una direcció del pla y, z en algun punt seria incoherent ja que perquè hauria de tenir aquesta i no una altra, si la distribució que veu és la mateixa cap a tots els costats (és infinita).

Per altra banda pel fet de ser infinit el camp en direcció x només pot dependre de la distància x a les bandes però no de la posició y o z , ja que són totes iguals per ser la distribució plana i infinita.

b) • Camp de la regió II ($-a < x < 0$). Col·loquem una superfície de Gauss com la d'un cilindre de base A com el de la figura. El flux a través de l'àrea lateral és nul. Només queden les bases.



$$\Phi_S = A \cdot E_x^{\text{II}}(x) - A \cdot E_x^{\text{I}} = |\text{com que } E^{\text{I}} = 0| = A \cdot E_x^{\text{II}}(x)$$

Igualant aquest flux al que diu el teorema de Gauss:

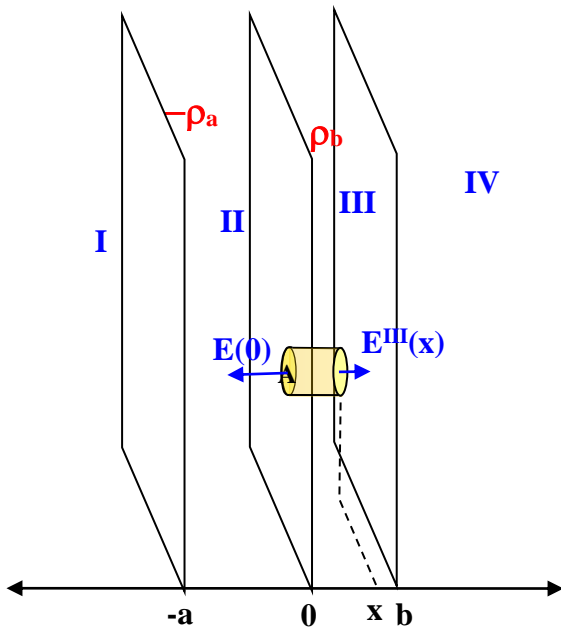
$$\begin{aligned} \Phi_S &= A \cdot E_x^{\text{II}}(x) = 4\pi \cdot k_e \cdot Q_{\text{int}} = \\ &= 4\pi \cdot k_e \cdot (-\rho_a) \cdot A \cdot (x - (-a)) = \\ &= -4\pi \cdot k_e \cdot \rho_a \cdot A \cdot (x + a) \end{aligned}$$

$$\Rightarrow E_x^{II}(x) = -\frac{\rho_a(x+a)}{\epsilon_0}$$

Concretament a la unió de les dues bandes: $x=0$

$$E_x(0) = -\frac{\rho_a a}{\epsilon_0} = -\frac{\rho_b b}{\epsilon_0}$$

- Camp de la regió III ($0 < x < b$). Col·loquem una superfície de Gauss com la d'un cilindre de base A com el de la figura. La seva base esquerra està justament a $x=0$, la dreta a x dins la regió III. Com abans el flux a través de l'àrea lateral és nul. Només queden les bases.



$$\Phi_S = -A \cdot E_x(0) + A \cdot E_x^{III}(x)$$

Igualant aquest flux al que diu el teorema de Gauss:

$$\begin{aligned} \Phi_S &= A \cdot E_x(0) + A \cdot E_x^{III}(x) = 4\pi \cdot k_e \cdot Q_{\text{int}} = \\ &= 4\pi \cdot k_e \cdot \rho_b \cdot A \cdot x \\ \Rightarrow \end{aligned}$$

$$E_x^{III}(x) = \frac{\rho_b x}{\epsilon_0} + E_x(0) = \frac{\rho_b x}{\epsilon_0} - \frac{\rho_b b}{\epsilon_0} = \frac{\rho_b (x-b)}{\epsilon_0}$$

Concretament al punt $x=b$ (final de la banda b i inici de la regió IV)

$$E_x^{III}(b) = \frac{\rho_b (b-b)}{\epsilon_0} = 0$$

Indicant això la continuïtat del camp E_x (a la regió IV el camp ja havíem vist que era nul).

c) • Agafem origen de potencial a la regió I : $V(x < -a) = 0$

- Calculem el potencial a la regió II ($-a < x < 0$):

$$\begin{aligned} V(x) &= V(-a) - \int_{-a}^x E^{II}(x') \cdot dx' = 0 - \int_{-a}^x -\frac{\rho_a(x'+a)}{\epsilon_0} \cdot dx' = \frac{\rho_a}{\epsilon_0} \int_{-a}^x (x'+a) \cdot dx' = \frac{\rho_a}{\epsilon_0} \left[\frac{x'^2}{2} + a \cdot x' \right]_{-a}^x = \\ &= \frac{\rho_a}{\epsilon_0} \left(\frac{x^2}{2} + a \cdot x - \frac{a^2}{2} + a^2 \right) = \frac{\rho_a}{\epsilon_0} \left(\frac{x^2}{2} + \frac{2ax}{2} + \frac{a^2}{2} \right) = \frac{\rho_a}{2\epsilon_0} (x+a)^2 \end{aligned}$$

Concretament a $x=0$

$$V(0) = \frac{\rho_a}{2\epsilon_0} (0+a)^2 = \frac{\rho_a a^2}{2\epsilon_0} = \frac{\rho_b b \cdot a}{2\epsilon_0}$$

- Calculem el potencial a la regió III ($0 < x < b$):

$$\begin{aligned}
V(x) &= V(0) - \int_0^x E^{III}(x') \cdot dx' = V(0) - \int_0^x \frac{\rho_b(x'-b)}{\epsilon_0} \cdot dx' = V(0) - \frac{\rho_b}{\epsilon_0} \int_0^x (x'-b) \cdot dx' = \\
&= V(0) - \frac{\rho_b}{\epsilon_0} \left[\frac{x'^2}{2} - b \cdot x' \right]_0^x = V(0) - \frac{\rho_b}{\epsilon_0} \left(\frac{x^2}{2} - b \cdot x - 0 \right) = \frac{\rho_b b \cdot a}{2\epsilon_0} - \frac{\rho_b}{2\epsilon_0} (x^2 - 2b \cdot x) = \\
&= \frac{\rho_b}{2\epsilon_0} (b \cdot a - x^2 + 2b \cdot x)
\end{aligned}$$

Concretament a $x=b$ (final de la regió III)

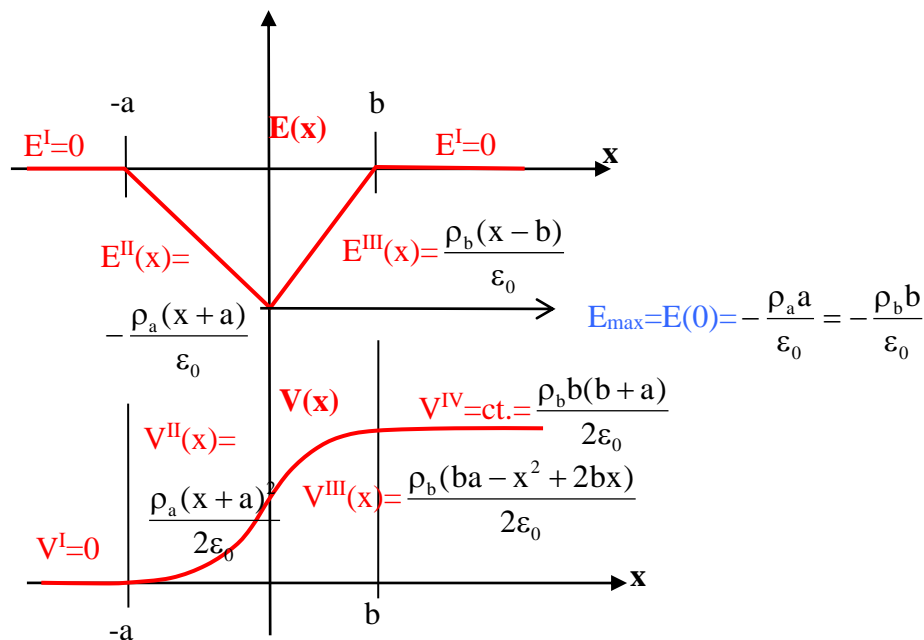
$$V(b) = \frac{\rho_b}{2\epsilon_0} (b \cdot a - b^2 + 2b \cdot b) = \frac{\rho_b b}{2\epsilon_0} (b + a) = \frac{\rho_a a}{2\epsilon_0} (b + a)$$

• Calculem el potencial a la regió IV ($b < x$):

$$\begin{aligned}
V(x) &= V(b) - \int_b^x E^{IV}(x') \cdot dx' = V(b) - \int_b^x 0 \cdot dx' = V(b) - 0 = V(b) = \\
&= \frac{\rho_b b}{2\epsilon_0} (b + a) = \frac{\rho_a a}{2\epsilon_0} (b + a)
\end{aligned}$$

El potencial és constant a aquesta regió.

Representació gràfica del camp i el potencial

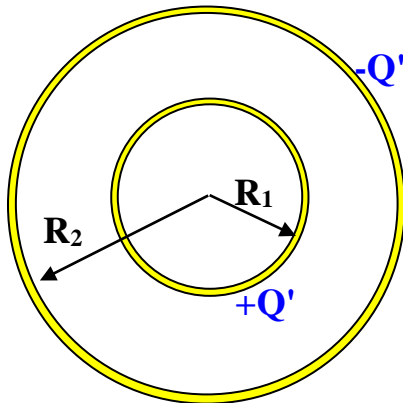


f) $\rho_a = -200 \text{ C/m}^3$, $a = 3 \mu\text{m}$; $\rho_b = 600 \text{ C/m}^3$, $b = 1 \mu\text{m}$ llavors:

$$E_{\max} = E_x(0) = -\frac{\rho_a a}{\epsilon_0} = -\frac{\rho_b b}{\epsilon_0} = -3388 \text{ k} \frac{\text{N}}{\text{C}}$$

$$V_{\text{barrera}} = V(b) = \frac{\rho_b b}{2\epsilon_0} (b + a) = \frac{\rho_a a}{2\epsilon_0} (b + a) = 0,6775 \text{ V}$$

7. Tenim una distribució contínua de càrregues consistent en un parell de cilindres concèntrics de radis R_1 l'interior i R_2 l'exterior (la secció dels quals es veu a la figura).



Els cilindres són de llargada molt més gran que el seu radi, per tant per a nosaltres és com si fossin infinitament llargs. Els dos cilindres només són capes cilíndriques de gruix negligible i per tant sense volum intern. El cilindre interior té una càrrega total $-q'$ per unitat de llargada distribuïda uniformement per l'àrea lateral, i el cilindre exterior té una càrrega igual i contrària $+q'$ per unitat de llargada distribuïda uniformement per l'àrea lateral.

- Calcula expressions per a la densitat de càrrega superficial de càrrega σ_1 i σ_2 per unitat de llargada dels dos cilindres.
- Calcula expressions per al camp elèctric en direcció radial cilíndrica, a les 3 diferents regions de l'espai: I ($r < R_1$) ; II ($R_1 < r < R_2$) i III ($R_2 < r$).
- A partir de l'expressió del camp calcula les expressions del potencial elèctric a les 3 regions. Agafa origen de potencial zero a l'eix $r=0$. Fes una representació gràfica del potencial.
- Calcula la diferència de potencial ΔV entre els cilindres intern i extern. Si dividim Q' per aquesta diferència de potencial ΔV obtenim el que s'anomena *capacitat per unitat de llargada* $C'=Q'/\Delta V$. Comprova que l'expressió d'aquesta capacitat és independent de la càrrega per unitat de llargada $Q'=\lambda_{eq}$
- Calcula la capacitat C' per $R_1=1\text{ mm}$ i $R_2=1,744 R_1$

SOLUCIÓ 7

- a) Tenint en compte que les càrregues q' i $-q'$ per unitat de longitud es distribueixen uniformement per les àrees respectivament del cilindre interior de radi R_1 i del cilindre exterior de radi R_2 (suposant que utilitzem una longitud L per a fer la prova)

$$\sigma_1 = \frac{-q'L}{2\pi R_1 L} = \frac{-q'}{2\pi R_1} \quad ; \quad \sigma_2 = \frac{q'L}{2\pi R_2 L} = \frac{q'}{2\pi R_2}$$

- b) • Camp de la regió I ($r < R_1$). Col·loquem una superfície de Gauss consistent en un altre cilindre de llargada L , concèntric amb l'eix dels cilindres però de radi $r < R_1$. Per simetria cilíndrica el camp és perpendicular a la superfície lateral (LT) d'aquesta cilindre i el mòdul només depèn del radi r i no varia si ens movem al llarg de l'eix. Per

tant els elements de flux a l'àrea lateral $\mathbf{E} \cdot d\mathbf{S}$ són només productes de mòdul: $E(r) \cdot dS$ amb $E(r)$ constant al llarg de tota l'esfera de Gauss. Els elements de flux a través de les bases B1 i B2 del cilindre de Gauss de llargada L són nuls ja que el camp té direcció radial.

Així:

$$\Phi_r = \oint_{B1} E^I(r) \cdot d\mathbf{S} + \oint_{B2} E^I(r) \cdot d\mathbf{S} + \oint_{LT} E^I(r) \cdot d\mathbf{S} = \oint_{LT} E^I(r) \cdot d\mathbf{S} = E^I(r) \cdot \oint_{LT} d\mathbf{S} = E^I(r) \cdot 2\pi r \cdot L$$

Igualant aquest flux al que diu el teorema de Gauss:

$$\Phi_r = E^I(r) \cdot 2\pi r \cdot L = 4\pi k_e q_{int} = 4\pi k_e 0$$

Ja que no hi ha càrrega a l'interior del cilindre de Gauss de radi menor que R_1 .

Per tant el camp elèctric de la regió I és nul $\Rightarrow E^I(r) = 0$

• Camp de la regió II ($R_1 < r < R_2$). Ara la superfície de Gauss és també un cilindre concèntric de radi $R_1 < r < R_2$ i llargada L. Tenim les mateixes simetries esfèriques, per tant:

$$\Phi_r = \oint_{B1} E^{II}(r) \cdot d\mathbf{S} + \oint_{B2} E^{II}(r) \cdot d\mathbf{S} + \oint_{LT} E^{II}(r) \cdot d\mathbf{S} = \oint_{LT} E^{II}(r) \cdot d\mathbf{S} = E^{II}(r) \cdot \oint_{LT} d\mathbf{S} = E^{II}(r) \cdot 2\pi r \cdot L$$

Igualant aquest flux al que diu el teorema de Gauss:

$$\Phi_r = E^{II}(r) \cdot 2\pi r L = 4\pi k_e q_{int} = 4\pi k_e (-q') \cdot L = 4\pi k_e (2\pi R_1 \sigma_1') \cdot L$$

$$\Rightarrow E^{II}(r) = \frac{4\pi k_e (-q') L}{2\pi r L} = \frac{2k_e (-q')}{r} = \frac{2k_e (2\pi R_1 \sigma_1')}{r}$$

El mateix que si tota la càrrega $-q'$ per unitat de llargada estigués concentrada en el centre $r=0$ i formés un fil rectilini de densitat $\lambda = -q'$.

Amb les expressions de les regions I i II ja es veu que el camp no és continu per $r=R_1$: $E^I(R_1)=0$ i $E^{II}(R_1) = -2k_e q'/R_1$. És lògic ja que es tracta d'una distribució superficial σ i en elles el camp no ha de ser continu.

• Camp de la regió III ($R_2 < r$). Ara la superfície de Gauss és també un cilindre concèntric de radi $R_1 < r < R_2$ i llargada L. Tenim les mateixes simetries esfèriques, per tant:

$$\Phi_r = \oint_{B1} E^{III}(r) \cdot d\mathbf{S} + \oint_{B2} E^{III}(r) \cdot d\mathbf{S} + \oint_{LT} E^{III}(r) \cdot d\mathbf{S} = \oint_{LT} E^{III}(r) \cdot d\mathbf{S} = E^{III}(r) \cdot \oint_{LT} d\mathbf{S} = E^{III}(r) \cdot 2\pi r \cdot L$$

Igualant aquest flux al que diu el teorema de Gauss:

$$\Phi_r = E^{III}(r) \cdot 2\pi r L = 4\pi k_e q_{int} = 4\pi k_e (-q' + q') = 0$$

$$\Rightarrow E^{III}(r) = 0 \quad \text{El camp és nul a fora .}$$

Ara tampoc el camp ja és continu a $r = R_2$:

immediatament a dins val $E^{II}(R_2) = -2k_e q' / R_2$ i a fora val $E^{III}(r) = 0$.
Això és així ja que hem tornat a travessar una distribució superficial σ .

c) Tenim l'origen de potencial a $r=0$ $V(r=0)=0$,
no el podem posar a l'infinit ja que en aquest cas, per tractar-se d'una distribució d'extensió infinita, això no es pot fer i per tant s'ha de posar a un altre lloc, com per exemple a $r=0$.

• Com que $r=0$ és un punt de la regió I començarem calculant el potencial als punts d'aquesta regió I ($r < R_1$):

$$V(r) = V(0) - \int_0^r E^I(r') \cdot dr' = 0 - \int_0^r 0 \cdot dr' = 0$$

El potencial continua sent zero a tota la regió I i concretament $V(R_1)=0$.

• Calculem el potencial a la regió II ($R_1 < r < R_2$), agafarem com a referència el potencial a R_1 : $V(R_1)=0$

$$\begin{aligned} V(r) &= V(R_1) - \int_{R_1}^r E^{II}(r') \cdot dr' = 0 - \int_{R_1}^r \frac{2k_e(-q')}{r'} \cdot dr' = +2k_e q' \int_{R_1}^r \frac{dr'}{r'} = 2k_e q' [\ln(r')]_{R_1}^r \\ &= 2k_e q' (\ln(r) - \ln(R_1)) = 2k_e q' \cdot \ln(r / R_1) \end{aligned}$$

Concretament a $r=R_2$

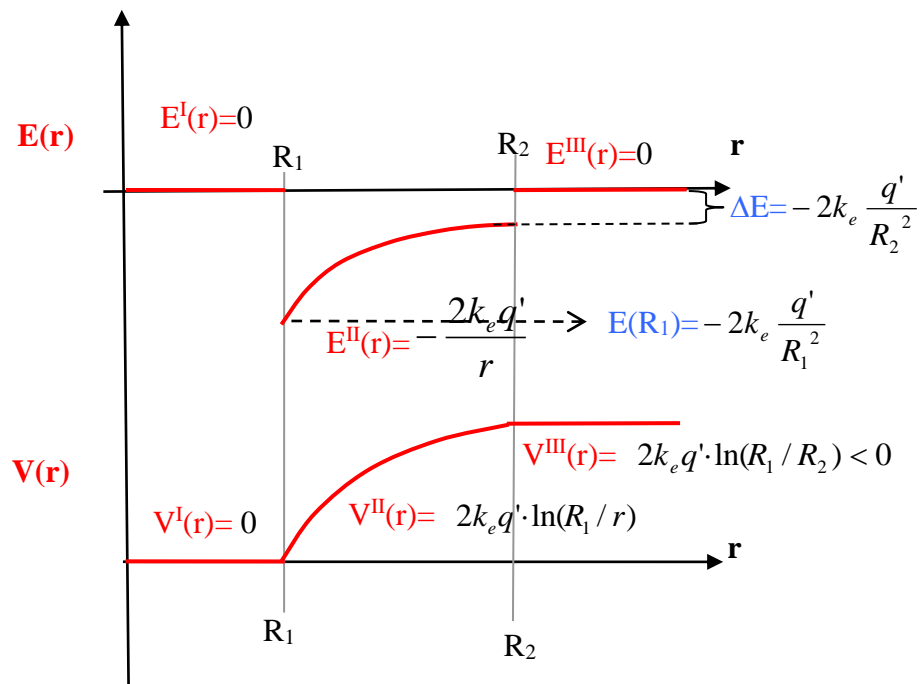
$$V(R_2) = 2k_e q' \cdot \ln(R_2 / R_1) > 0$$

• Calculem el potencial a la regió III ($R_2 < r$), agafarem com a referència el potencial a R_2 que acabem de calcular: $V(R_2)=2k_e q' \ln(R_2/R_1)$

$$V(r) = V(R_2) - \int_{R_2}^r E^{III}(r') \cdot dr' = V(R_2) - \int_{R_2}^r 0 \cdot dr' = V(R_2) - 0 = 2k_e q' \cdot \ln(R_2 / R_1) = ct. < 0$$

És a dir el potencial a partir de fora de R_2 ja no varia més, es manté constant.

Resum. Gràfica del camp i del potencial:



d) Capacitat C' per unitat de longitud?

$$C' \equiv \frac{q'}{V(R_2) - V(R_1)} = \frac{q'}{2k_e q' \ln\left(\frac{R_2}{R_1}\right)} = \frac{1}{2k_e \ln\left(\frac{R_2}{R_1}\right)}$$

Només depèn de les característiques geomètriques del sistema (i de k_e que és ct.)

e) Calcula la capacitat per unitat de longitud C' , per $R_1 = 1 \text{ mm}$ i $R_2 = 1,744 R_1$

$$C' = \left| \frac{1}{2k_e \ln\left(\frac{R_2}{R_1}\right)} \right| = \left| \frac{1}{2 \times 8,9875 \times 10^9 \frac{\text{Nm}^2}{\text{C}^2} \ln(1,744)} \right| = 1,000 \times 10^{-10} \frac{\text{C}}{\frac{\text{Nm}^2}{\text{C}}} = 100 \text{ pF/m}$$